



دانشگاه شهروند  
بر اساس این ایران

## مقاله پژوهشی

مجله سنجش و ایمنی پرتو، جلد ۷، شماره ۳، تابستان ۱۳۹۸، صفحه ۲۹-۳۴

تاریخ دریافت مقاله: ۱۳۹۸/۰۳/۲۸، تاریخ پذیرش مقاله: ۱۳۹۸/۰۶/۱۳



# مطالعه آهنگ دز جذبی کل پرتوهای گسیل شده از چشممه‌ی براکی‌ترابی $^{252}\text{Cf}$ به روش مونت‌کارلو

امilia احمدی\* و حسین توکلی عنبران

دانشکده فیزیک و مهندسی هسته‌ای، دانشگاه صنعتی شاهرود، شاهرود، سمنان، ایران.

\*سمنان، شاهرود، دانشگاه صنعتی شاهرود، دانشکده فیزیک و مهندسی هسته‌ای، کد پستی: ۳۶۱۹۹-۹۵۱۶۱

پست الکترونیکی: Leila\_Ahmadi0123@yahoo.com

## چکیده

چشممه‌ی براکی‌ترابی  $^{252}\text{Cf}$  یک چشممه‌ی شکافت خودبه‌خودی می‌باشد که از آن به عنوان یک چشممه‌ی گسیلنده‌ی نوترون استفاده می‌شود. علاوه بر نوترون‌های گسیل شده از این چشممه، پرتوهای گاما با متوسط انرژی  $1\text{ MeV}$  گسیل می‌شوند. در این مطالعه با استفاده از کد مونت‌کارلوی MCNPX، ابتدا میزان دز جذبی نوترون‌ها، گامای اولیه و گاماهای ثانویه که در نتیجه‌ی گیراندازی نوترون حرارتی با هیدروژن آب تولید می‌شوند در فواصل مختلف از چشممه در فانتوم آب محاسبه شد. سپس میزان دز معادل کل، نوترون و گاما در فواصل مختلف از چشممه به دست آمد. نتایج نشان می‌دهند که، پرتوهای گامای حاصل از این چشممه می‌توانند انرژی قابل توجهی در فواصل نزدیک به چشممه به جا بگذارند که باید سهم این پرتوها در مقادیر دز جذبی کل در استفاده از این چشممه و یا چشممه‌هایی که تنها به عنوان گسیلنده‌ی نوترون شناخته شده‌اند در نظر گرفته شود. آهنگ‌های دز نوترون و گامای کل با افزایش فاصله از چشممه کاهش پیدا کرده و در فواصل نزدیک به چشممه بیشترین میزان انرژی خود را به جا می‌گذارند. دز معادل ناشی از نوترون‌ها در فواصل نزدیک (کمتر از  $2\text{ cm}$ ) با اختلاف، نسبت به پرتوهای گاما بیشترین میزان تأثیر، در دز معادل کل دارد به طوریکه مقادیر آن در فواصل  $0.5\text{ cm}$  تا  $2\text{ cm}$  از چشممه از  $4630\text{ cSv/h.}\mu\text{g}$  به مقدار  $2950\text{ cSv/h.}\mu\text{g}$  می‌رسد، در حالی که میزان دز معادل گاماهای در فواصل  $0.5\text{ cm}$  تا  $2\text{ cm}$  از چشممه از  $4300\text{ cSv/h.}\mu\text{g}$  تا  $2722\text{ cSv/h.}\mu\text{g}$  است.

کلیدوازگان:  $^{252}\text{Cf}$ ، دز معادل، دز نوترون، گامای اولیه، گامای ثانویه.

## ۱. مقدمه

چشممه‌های گسیلنده‌ی نوترون) و اکتیویتیه‌ی گامای پایین آن اشاره نمود [۲]. چشممه‌ی  $^{252}\text{Cf}$  با نیمه عمر  $2646\text{ سال}$ ،  $96.6\%$  مد واپاشی آن ذرات آلفا است. اما به دلیل برد کوتاه آنها و توقف در کپسول یا حفاظ دور چشممه در درمان قابل استفاده نمی‌باشند. مقدار کوچک اما با اهمیت،  $3.1\%$  واپاشی آن منجر به شکافت خودبه‌خودی می‌شود. در هر شکافت به

چشممه‌های کالیفرنیم علی‌رغم قیمت بالای آنها از اوایل دهه ۱۹۷۰ جایگزین چشممه‌های نوترون دیگر از قبیل،  $^{124}\text{Sb-Be}$ ،  $^{242}\text{Cm-Be}$ ،  $^{210}\text{Po-Be}$ ،  $^{241}\text{Am-Be}$  قرار گرفتند [۱]. از جمله مزیت‌های این چشممه‌ها می‌توان به اکتیویتیه ویژه بالای آن (اجازه تولید چشممه‌های نوترون در اندازه‌های کوچک را فراهم می‌سازد)، طیف نوترون نرم (در مقایسه با دیگر

مانند سرطان دهانه‌ی گردن رحم با روش برآکی‌ترایپی، دریافت کمترین میزان دز رسیده به بافت‌های مختلفی که در مجاورت با اندام آسیب دیده قرار دارند لازم و ضروری می‌باشد [۸، ۹]. از این رو در تحقیق قبلی نشان داده‌ایم که، محاسبات دزیمتري در فانتوم آب به جای بافت نرم دارای اختلاف نسبی حدوداً ۴ درصدی است که با انجام این تصحیحات می‌توان نتایج مربوط به فانتوم آب را به جای بافت نرم در طراحی برنامه‌ی درمان به کار بست [۱۰]. هدف از انجام این تحقیق، مطالعه‌ی دزیمتري پرتوهای نوترون، گاماها اولیه و گاماها ثانویه‌ی چشممه‌ی برآکی‌ترایپی  $^{252}\text{Cf}$  در فانتوم MCNPX آب اطراف چشمها با استفاده از کد مونت‌کارلوی MCNPX می‌باشد [۱۱]. در این شبیه‌سازی‌ها از تابع ماکسول برای تعریف طیف انرژی نوترون‌ها استفاده شده است. از طرفی در حالت کلی اثر بیولوژیکی در درمان با  $^{252}\text{Cf}$  با اکثرب قاطع به نوترون نسبت داده می‌شود. زیرا نوترون‌ها به طور میانگین ۶ برابر بیشتر از گاماها در کشنن سلول‌های بدخیم تاثیر دارند [۱۲]. بنابراین در نهایت آهنگ دز معادل کل در فواصل مختلف از چشممه، برای نشان دادن بیشترین تاثیر توسط نوترون‌ها در دز کلی محاسبه شده است.

## ۲. مواد و روش‌ها

برای انجام شبیه‌سازی‌ها چشممه‌ی  $^{252}\text{Cf}$  که به صورت یک چشممه‌ی استوانه‌ای با طول فعال  $5\text{mm}$ ، می‌باشد، در مرکز یک فانتوم آب به چگالی  $0.998\text{ gr/cm}^3$  و شعاع  $20\text{cm}$  قرار داده شده است [۱۳]. به دلیل گرادیان بالای تغییرات دز در نزدیکی چشممه، برای دزیمتري دقیق‌تر ضخامت پوسته‌های استوانه‌ای خیلی کوچک انتخاب می‌شوند. از این رو آهنگ دز جذبی در پوسته‌های استوانه‌ای به ابعاد  $2\text{mm} \times 0.2\text{mm} \times 0.5\text{mm}$  در فواصل  $0.5\text{ cm}$ ،  $1\text{ cm}$ ،  $1.5\text{ cm}$ ،  $2\text{ cm}$ ،  $2.5\text{ cm}$ ،  $3\text{ cm}$ ،  $4\text{ cm}$ ،  $4.5\text{ cm}$ ،  $5\text{ cm}$  و  $6\text{ cm}$  از چشممه محاسبه شده است [۱۴]. طیف

طور میانگین  $3/768$  نوترون منتشر می‌شود. هر  $1\text{ grom}$   $^{252}\text{Cf}$ ،  $10^{12} \times 2/314$  نوترون در هر ثانیه گسیل می‌کند. انرژی نوترون‌های حاصل از شکافت با بیشترین احتمال،  $0.7\text{ MeV}$  و میانگین انرژی نوترون‌ها  $2/1\text{ MeV}$  است. علاوه بر نوترون‌های ساطع شده،  $1\text{ grom}$   $252\text{ Cf}$ ،  $10^{13} \times 1/3$  گاما در هر ثانیه با انرژی متوسط  $1\text{ MeV}$  گسیل می‌کند [۴، ۳]. درمان با استفاده از نوترون‌ها با انتقال انرژی خطی بالا آن را به یکی از تابش‌های مورد مطلوب نسبت به گاماها اختصاص داده است. از جمله مزایای آن می‌توان به ذرات کوتاه برد، مزایای بیولوژیکی برای کنترل موضعی تومور براساس غلبه در عود مجدد تومور و اثر زیست‌شناختی نسبی بالاتر نسبت به تومورهای در حال رشد نام برد. در حالیکه در درمان تومورهای بدخیم به دلیل کمبود اکسیژن در تومور یا به اصطلاح هیپوکسی، استفاده از پرتوهای گاما و الکترون سبب مقاومت بافت در برابر این پرتوها می‌شود. حالت‌های واپاشی پروتون نیز نیاز به هسته‌های نسبتاً غنی از پروتون دارد که به طور کلی در واکنش‌های هسته‌ای انرژی بالا تشکیل می‌شوند که طولانی‌ترین نیمه عمر آنها به  $250\text{ ms}$  می‌رسد. با این وجود، پروتون نیز نمی‌تواند مزایای رادیوبیولوژیکی همانند نوترون داشته باشد [۵، ۶].

نتایج درمان هزاران بیمار در مراکز مختلف جهان با استفاده از چشممه‌ی برآکی‌ترایپی  $^{252}\text{Cf}$  نشان می‌دهد که، ترکیب تابش نوترون و فوتون به خصوص برای تومورهای بزرگ و همچنین برای تومورهایی که به طور معمول در برابر تابش مقاومت نشان می‌دادند مثل تومورهای ملانوما و تومورهای پیشرفته‌ی دهانه‌ی گردن رحم می‌تواند موثر واقع شود [۷]. با توجه به کاربردهای عملی که چشممه‌ی گسیلنده نوترون  $^{252}\text{Cf}$  بخصوص در حوزه درمان برآکی‌ترایپی دارد شناخت پرتوهای گسیلی و اندازه‌گیری میزان انرژی آنها دارای اهمیت است. در درمان سرطان اندام‌های مختلف بدن از طریق پرتو درمانی

منجر به گسیل گاماهاي  $2/2$  MeV می‌شوند حاصل می‌شوند. دز جذبی این گاماها نیز با استفاده از تالی  $*f8$  کد MCNPX بدست می‌آید. در نهایت برای محاسبه‌ی آهنگ دز معادل کل، رابطه‌ی زیر مورد استفاده قرار گرفت [۱۲]:

$$D_{Total} = D_n \times RBE_n + D_\gamma \times RBE_\gamma = 6D_n + D_\gamma \quad (2)$$

### ۳. نتایج و بحث

آهنگ دز جذبی نوترون‌های گسیل شده از چشممه کالیفرنیم با خطای کمتر از  $5$  درصد همراه با نتایج کار دیگران در شکل ۱ مشاهده می‌گردد. مقایسه‌ی نتایج به دست آمده با نتایج تجربی colvett [۱۸] و همکارانش و نتایج کار شبیه‌سازی توسط Al-Saihati and Naqvi [۱۳] و Wang and Kelm [۱۲] در محیط آب با یکدیگر تطابق خوبی دارند. محاسبات مربوط به آهنگ دز نوترون نشان می‌دهد که، دز جذبی در فواصل نزدیک به چشمme (فواصل زیر  $2\text{ cm}$ ) دارای شیب تندتری می‌باشد. به عبارتی نوترون‌ها در این فواصل، بیشترین میزان انرژی را در محیط به جا می‌گذارند (تعداد نوترون‌های اندرکنش‌کننده با ماده در فواصل نزدیک بیشتر است. همچنین مسیر آزاد میانگین برای انرژی متوسط نوترون‌ها در آب تقریباً  $2\text{ cm}$  است).

با افزایش فاصله از چشمme، تعداد نوترون‌های اندرکنش‌کننده با ماده کم شده، در نتیجه باعث کم شدن تعداد انتقال‌های انرژی به ماده شده و در نهایت دز جذبی کاهش پیدا می‌کند به طوری که میزان تغییرات به یک روند یکنواختی می‌رسد. محاسبات مربوط به آهنگ دز گاماهاي اوليه، ثانويه و کل (مجموع دز گاماهاي اوليه و ثانويه) در جدول ۱ آورده شده است.

انرژی نوترون‌ها به صورت طیف ماسکسولی و از رابطه‌ی زیر تعییت می‌کند [۱۵].

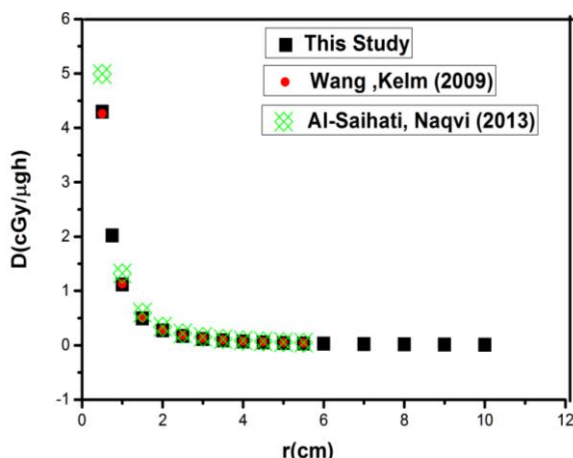
$$N(E) = Ce^{-E/1.42} E^{0.5} \quad (1)$$

برای محاسبات دز جذبی نوترون، از تالی  $F6$  یا همان تالی  $MeV/gr$  کد MCNPX که واحد آن بر حسب  $\text{Gy}/\text{h}\cdot\mu\text{g}$  به دست می‌باشد استفاده شده است. با توجه به اینکه تعداد نوترون‌های گسیل شده از هر  $1\text{ grom}$   $^{252}\text{Cf}$   $2.314 \times 10^{12}$  نوترون در ثانیه می‌باشد آهنگ دز جذبی بر حسب  $\text{cGy}/\text{h}\cdot\mu\text{g}$  به دست آمد [۱۱]. گاماهاي اوليه پرتوهای گاماهاي هستند که همراه با نوترون و طی واپاشی محصولات شکافت گسیل می‌شوند. جهت محاسبه‌ی درست در ناشی از پرتوهای گاماهاي اوليه در اطراف چشمme، نیاز به طیف درستی از پرتوهای گاما است. از طرفی فوتون‌ها با انرژی‌های کمتر از  $20\text{ keV}$  انرژیشان را تا فاصله  $1\text{ cm}$  از چشمme به جا می‌گذارند که نادیده گرفتن سهم این فوتون‌ها در طی حرکت در آب موجب تخمین کمتری از میزان دز جذبی بخصوص در فواصل نزدیک به چشمme می‌شود. بنابراین باید طیفی را لحاظ کنیم که منجر به نتیجه‌ی درستی در محاسبات شبیه‌سازی شود. از این رو در محاسبات از طیف تصحیح شده‌ای که در برگیرنده‌ی رنج پایین انرژی گاماها است و توسط Dr. Ian C.Gauld at ORNL به دست آمده است استفاده شد [۱۷]. دز جذبی این گاماها با استفاده از تالی  $*f8$  کد MCNPX با تقسیم بر جرم سلول بر حسب واحد  $MeV/gr$  به دست آمد سپس با استفاده از تعداد گاماهاي گسیلی در هر ثانیه آهنگ دز جذبی بر حسب  $\text{cGy}/\text{h}\cdot\mu\text{g}$  محاسبه شد. گاماهاي ثانويه از طریق اندرکنش نوترون‌های حرارتی در آب طی واکنش  $^1\text{H}(n,\gamma)^2\text{H}$  که

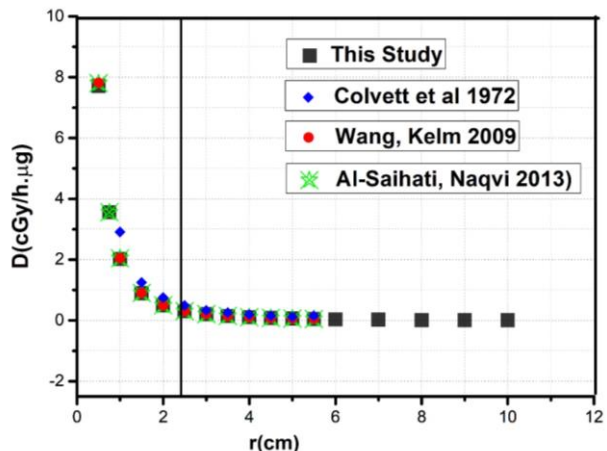
جدول (۱): آهنگ دز گاماهاای اولیه، ثانویه و کل بر حسب .cGy/h. $\mu$ g

فوائل (cm)	آهنگ دز گاما اولیه	آهنگ دز گاما ثانویه	آهنگ دز گاما کل
۰/۵۰	۴/۲۷ $\times 10^{-1}$ ± ۴/۵۳ $\times 10^{-2}$	۲/۳۶ $\times 10^{-2}$ ± ۹/۰۷ $\times 10^{-3}$	۴/۳۰ $\times 10^{-1}$ ± ۴/۵۳ $\times 10^{-2}$
۰/۷۵	۲/۰۱ $\times 10^{-1}$ ± ۲/۵۳ $\times 10^{-2}$	۱/۱۰ $\times 10^{-2}$ ± ۵/۲۴ $\times 10^{-3}$	۲/۰۲ $\times 10^{-1}$ ± ۲/۵۳ $\times 10^{-2}$
۱/۰۰	۱/۱۱ $\times 10^{-1}$ ± ۱/۷۰ $\times 10^{-2}$	۷/۶۶ $\times 10^{-3}$ ± ۲/۷۵ $\times 10^{-4}$	۱/۱۲ $\times 10^{-1}$ ± ۱/۷۰ $\times 10^{-2}$
۱/۵۰	۴/۹۱ $\times 10^{-1}$ ± ۸/۰۰ $\times 10^{-2}$	۳/۲۷ $\times 10^{-2}$ ± ۱/۴۰ $\times 10^{-3}$	۴/۹۵ $\times 10^{-1}$ ± ۸/۰۰ $\times 10^{-2}$
۲/۰۰	۲/۷۰ $\times 10^{-1}$ ± ۵/۷۵ $\times 10^{-2}$	۲/۰۶ $\times 10^{-2}$ ± ۷/۹۷ $\times 10^{-3}$	۲/۷۲ $\times 10^{-1}$ ± ۵/۷۵ $\times 10^{-2}$
۲/۵۰	۱/۷۱ $\times 10^{-1}$ ± ۴/۰۲ $\times 10^{-2}$	۱/۴۸ $\times 10^{-2}$ ± ۵/۴۹ $\times 10^{-3}$	۱/۷۲ $\times 10^{-1}$ ± ۴/۰۲ $\times 10^{-2}$
۳/۰۰	۱/۱۵ $\times 10^{-1}$ ± ۲/۹۷ $\times 10^{-2}$	۱/۰۷ $\times 10^{-2}$ ± ۳/۸۳ $\times 10^{-3}$	۱/۱۶ $\times 10^{-1}$ ± ۲/۹۷ $\times 10^{-2}$
۳/۵۰	۸/۷۹ $\times 10^{-1}$ ± ۲/۴۴ $\times 10^{-2}$	۹/۰۰ $\times 10^{-4}$ ± ۳/۲۱ $\times 10^{-5}$	۸/۸۸ $\times 10^{-1}$ ± ۲/۴۴ $\times 10^{-2}$
۴/۰۰	۷/۹۳ $\times 10^{-1}$ ± ۲/۰۴ $\times 10^{-2}$	۷/۱۹ $\times 10^{-4}$ ± ۲/۷۱ $\times 10^{-5}$	۷/۰۰ $\times 10^{-1}$ ± ۲/۰۴ $\times 10^{-2}$
۴/۵۰	۰/۱۱ $\times 10^{-1}$ ± ۱/۶۱ $\times 10^{-2}$	۷/۸۱ $\times 10^{-4}$ ± ۳/۷۰ $\times 10^{-5}$	۰/۱۸ $\times 10^{-1}$ ± ۱/۶۱ $\times 10^{-2}$
۵/۰۰	۴/۰۲ $\times 10^{-1}$ ± ۱/۳۹ $\times 10^{-2}$	۵/۷۳ $\times 10^{-4}$ ± ۱/۹۳ $\times 10^{-5}$	۴/۰۸ $\times 10^{-1}$ ± ۱/۳۹ $\times 10^{-2}$
۵/۵۰	۳/۳۶ $\times 10^{-1}$ ± ۱/۱۶ $\times 10^{-2}$	۴/۵۲ $\times 10^{-4}$ ± ۱/۶۲ $\times 10^{-5}$	۳/۴۰ $\times 10^{-1}$ ± ۱/۱۶ $\times 10^{-2}$
۶/۰۰	۲/۸۵ $\times 10^{-1}$ ± ۱/۰۱ $\times 10^{-2}$	۴/۵۵ $\times 10^{-4}$ ± ۱/۵۰ $\times 10^{-5}$	۲/۹۰ $\times 10^{-1}$ ± ۱/۰۱ $\times 10^{-2}$
۶/۵۰	۲/۱۱ $\times 10^{-1}$ ± ۸/۴۶ $\times 10^{-2}$	۳/۳۷ $\times 10^{-4}$ ± ۱/۱۷ $\times 10^{-5}$	۲/۱۴ $\times 10^{-1}$ ± ۸/۴۶ $\times 10^{-2}$
۷/۰۰	۱/۵۴ $\times 10^{-1}$ ± ۷/۲۶ $\times 10^{-2}$	۲/۶۵ $\times 10^{-4}$ ± ۱/۰۳ $\times 10^{-5}$	۱/۵۶ $\times 10^{-1}$ ± ۷/۲۶ $\times 10^{-2}$
۷/۵۰	۱/۲۲ $\times 10^{-1}$ ± ۵/۲۶ $\times 10^{-2}$	۲/۴۱ $\times 10^{-4}$ ± ۸/۷۹ $\times 10^{-5}$	۱/۲۴ $\times 10^{-1}$ ± ۵/۲۶ $\times 10^{-2}$
۸/۰۰	۹/۴۸ $\times 10^{-1}$ ± ۴/۶۸ $\times 10^{-2}$	۱/۸۶ $\times 10^{-4}$ ± ۷/۰۰ $\times 10^{-5}$	۹/۶۶ $\times 10^{-1}$ ± ۴/۶۸ $\times 10^{-2}$

همان‌طور که در شکل ۲ مشاهده می‌شود مقایسه‌ی بین آهنگ مربوط به دز گاما کل همراه با نتایج کار شبیه‌سازی شده Al-Saihati and Naqvi [۱۲] Wang and Kelm [۱۲] و [۱۳] در محیط آب با یکدیگر تطابق خوبی دارند.



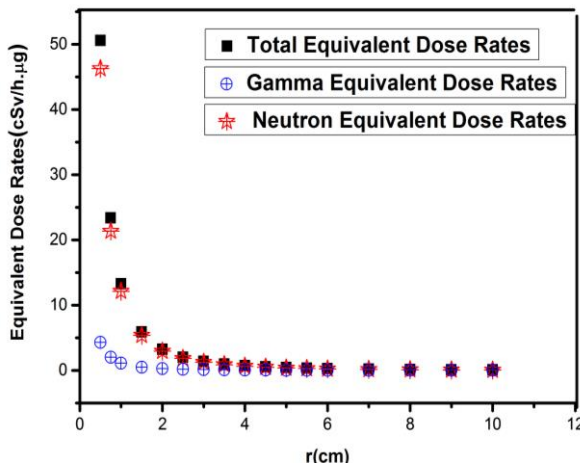
شکل (۲): آهنگ دز جذبی گاما کل محاسبه شده در این مطالعه در آب همراه با نتایج کار دیگران در آب [۱۲، ۱۳].



شکل (۱): آهنگ دز جذبی نوترون محاسبه شده در این مطالعه در آب همراه با نتایج کار دیگران در آب [۱۲، ۱۳].

خطای حاصل از محاسبات کد در تمامی فواصل کمتر از ۵ درصد می‌باشد. با توجه به جدول ۱، با کم شدن تعداد گاماهاای ثانویه که از گیراندازی نوترون حرارتی حاصل می‌شوند میزان آهنگ دز گاما ثانویه با افزایش فاصله از چشم می‌کاهش پیدا می‌کند.

دارد که نشان‌دهنده‌ی اهمیت پرتوهای نوترون نسبت به گاماهای در این فواصل است.



شکل (۳): مقایسه‌ی آهنگ دز معادل گاما و نوترون با آهنگ دز معادل کل.

با افزایش فاصله از چشممه‌ی آهنگ دز گامای کل کاهش پیدا می‌کند. و در فواصل نزدیک به چشممه با شیب تندتری بیشترین میزان ارزی خود را به جا می‌گذارد.

محاسبات مربوط به آهنگ دز معادل کل، طبق رابطه‌ی ۲ از مجموع آهنگ‌های دز معادل نوترون و گاما به دست آمد. نتایج این محاسبات در جدول ۲ مشاهده می‌گردد. جهت نشان دادن تأثیر هر کدام از پرتوها در میزان دز کلی در شکل ۳، مقایسه‌ی بین مقادیر آهنگ دز معادل گاما و نوترون با آهنگ دز معادل کل نشان داده شده است. با توجه به شکل ۳، دز ناشی از نوترون‌ها در فواصل نزدیک به چشممه (کمتر از ۲ cm) با اختلاف نسبت به پرتوهای گاما بیشترین میزان تأثیر، در دز کلی

جدول (۲): آهنگ دز معادل بر حسب .cSv/h.μg

فوائل (cm)	آهنگ دز معادل گامای کل	آهنگ دز معادل نوترون‌ها	آهنگ دز معادل کل	آهنگ دز معادل کل
۰/۵۰	$4/۳۰ \times 10^{-۲}$	$4/۳۳ \times 10^{-۱} \pm ۳/۰۵ \times 10^{-۱}$	$4/۳۰ \times 10^{-۲}$	$5/۰۶ \times 10^{-۱} \pm ۳/۰۹ \times 10^{-۱}$
۰/۷۵	$۲/۰۲ \times 10^{-۱} \pm ۲/۰۳ \times 10^{-۱}$	$۲/۱۴ \times 10^{-۱} \pm ۱/۶۷ \times 10^{-۱}$	$۲/۰۲ \times 10^{-۱} \pm ۲/۰۳ \times 10^{-۱}$	$۲/۳۴ \times 10^{-۱} \pm ۱/۶۹ \times 10^{-۱}$
۱/۰۰	$۱/۱۲ \times 10^{-۱} \pm ۱/۶۰ \times 10^{-۱}$	$۱/۲۱ \times 10^{-۱} \pm ۱/۰۹ \times 10^{-۱}$	$۱/۱۲ \times 10^{-۱} \pm ۱/۶۰ \times 10^{-۱}$	$۱/۳۲ \times 10^{-۱} \pm ۱/۱۰ \times 10^{-۱}$
۱/۵۰	$۴/۹۵ \times 10^{-۳} \pm ۸/۰۰ \times 10^{-۳}$	$۵/۳۷ \times 10^{-۱} \pm ۵/۸۰ \times 10^{-۱}$	$۴/۹۵ \times 10^{-۳} \pm ۸/۰۰ \times 10^{-۳}$	$۵/۸۷ \times 10^{-۱} \pm ۵/۸۷ \times 10^{-۱}$
۲/۰۰	$۲/۷۲ \times 10^{-۱} \pm ۵/۷۵ \times 10^{-۱}$	$۲/۹۰ \times ۱۰^{-۱} \pm ۳/۷۲ \times 10^{-۱}$	$۲/۷۲ \times ۱۰^{-۱} \pm ۵/۷۵ \times ۱۰^{-۱}$	$۳/۲۳ \times ۱۰^{-۱} \pm ۳/۷۷ \times ۱۰^{-۱}$
۲/۵۰	$۱/۷۲ \times ۱۰^{-۱} \pm ۴/۰۲ \times ۱۰^{-۱}$	$۱/۸۴ \times ۱۰^{-۱} \pm ۲/۶۵ \times ۱۰^{-۱}$	$۱/۷۲ \times ۱۰^{-۱} \pm ۴/۰۲ \times ۱۰^{-۱}$	$۲/۰۱ \times ۱۰^{-۱} \pm ۲/۶۸ \times ۱۰^{-۱}$
۳/۰۰	$۱/۱۶ \times ۱۰^{-۱} \pm ۲/۹۷ \times ۱۰^{-۱}$	$۱/۲۴ \times ۱۰^{-۱} \pm ۲/۰۱ \times ۱۰^{-۱}$	$۱/۱۶ \times ۱۰^{-۱} \pm ۲/۹۷ \times ۱۰^{-۱}$	$۱/۳۵ \times ۱۰^{-۱} \pm ۲/۰۳ \times ۱۰^{-۱}$
۳/۵۰	$۸/۸۸ \times ۱۰^{-۳} \pm ۲/۴۴ \times ۱۰^{-۳}$	$۸/۷۵ \times ۱۰^{-۱} \pm ۱/۰۸ \times ۱۰^{-۱}$	$۸/۸۸ \times ۱۰^{-۳} \pm ۲/۴۴ \times ۱۰^{-۳}$	$۹/۶۴ \times ۱۰^{-۱} \pm ۱/۰۹ \times ۱۰^{-۱}$
۴/۰۰	$۷/۰۰ \times ۱۰^{-۱} \pm ۲/۰۴ \times ۱۰^{-۱}$	$۶/۳۶ \times ۱۰^{-۱} \pm ۱/۲۶ \times ۱۰^{-۱}$	$۷/۰۰ \times ۱۰^{-۱} \pm ۲/۰۴ \times ۱۰^{-۱}$	$۷/۰۶ \times ۱۰^{-۱} \pm ۱/۲۸ \times ۱۰^{-۱}$
۴/۵۰	$۵/۱۸ \times ۱۰^{-۱} \pm ۱/۷۱ \times ۱۰^{-۱}$	$۴/۸۴ \times ۱۰^{-۱} \pm ۹/۲۹ \times ۱۰^{-۱}$	$۵/۱۸ \times ۱۰^{-۱} \pm ۱/۷۱ \times ۱۰^{-۱}$	$۵/۳۶ \times ۱۰^{-۱} \pm ۹/۴۳ \times ۱۰^{-۱}$
۵/۰۰	$۴/۰۸ \times ۱۰^{-۱} \pm ۱/۳۹ \times ۱۰^{-۱}$	$۳/۷۱ \times ۱۰^{-۱} \pm ۷/۷۹ \times ۱۰^{-۱}$	$۴/۰۸ \times ۱۰^{-۱} \pm ۱/۳۹ \times ۱۰^{-۱}$	$۴/۱۲ \times ۱۰^{-۱} \pm ۷/۹۱ \times ۱۰^{-۱}$
۵/۵۰	$۳/۴۰ \times ۱۰^{-۱} \pm ۱/۱۶ \times ۱۰^{-۱}$	$۲/۹۲ \times ۱۰^{-۱} \pm ۷/۱۸ \times ۱۰^{-۱}$	$۳/۴۰ \times ۱۰^{-۱} \pm ۱/۱۶ \times ۱۰^{-۱}$	$۳/۲۶ \times ۱۰^{-۱} \pm ۷/۲۷ \times ۱۰^{-۱}$
۶/۰۰	$۲/۹۰ \times ۱۰^{-۱} \pm ۱/۰۱ \times ۱۰^{-۱}$	$۲/۳۳ \times ۱۰^{-۱} \pm ۶/۱۵ \times ۱۰^{-۱}$	$۲/۹۰ \times ۱۰^{-۱} \pm ۱/۰۱ \times ۱۰^{-۱}$	$۲/۶۲ \times ۱۰^{-۱} \pm ۶/۲۴ \times ۱۰^{-۱}$
۶/۵۰	$۲/۱۴ \times ۱۰^{-۱} \pm ۸/۴۶ \times ۱۰^{-۱}$	$۱/۵۲ \times ۱۰^{-۱} \pm ۳/۹۳ \times ۱۰^{-۱}$	$۲/۱۴ \times ۱۰^{-۱} \pm ۸/۴۶ \times ۱۰^{-۱}$	$۱/۷۴ \times ۱۰^{-۱} \pm ۴/۰۲ \times ۱۰^{-۱}$
۷/۰۰	$۱/۵۶ \times ۱۰^{-۱} \pm ۷/۲۶ \times ۱۰^{-۱}$	$۱/۰۵ \times ۱۰^{-۱} \pm ۳/۰۸ \times ۱۰^{-۱}$	$۱/۵۶ \times ۱۰^{-۱} \pm ۷/۲۶ \times ۱۰^{-۱}$	$۱/۲۰ \times ۱۰^{-۱} \pm ۳/۱۶ \times ۱۰^{-۱}$
۷/۵۰	$۱/۲۴ \times ۱۰^{-۱} \pm ۵/۲۶ \times ۱۰^{-۱}$	$۷/۳۱ \times ۱۰^{-۱} \pm ۲/۴۱ \times ۱۰^{-۱}$	$۱/۲۴ \times ۱۰^{-۱} \pm ۵/۲۶ \times ۱۰^{-۱}$	$۸/۵۵ \times ۱۰^{-۱} \pm ۲/۴۷ \times ۱۰^{-۱}$
۸/۰۰	$۹/۶۶ \times ۱۰^{-۱} \pm ۴/۶۸ \times ۱۰^{-۱}$	$۵/۲۹ \times ۱۰^{-۱} \pm ۱/۹۷ \times ۱۰^{-۱}$	$۹/۶۶ \times ۱۰^{-۱} \pm ۴/۶۸ \times ۱۰^{-۱}$	$۷/۲۵ \times ۱۰^{-۱} \pm ۲/۰۲ \times ۱۰^{-۱}$

#### ۴. نتیجه‌گیری

گامای ثانویه می‌باشد. به دلیل نزدیک بودن عناصر تشکیل دهنده‌ی بافت نرم با آب محاسبات دزیمتری در فانтом آب

دز جذبی حاصل از پرتوهای گسیلی از چشممه‌ی کالیفرنیم شامل: دز ناشی از نوترون‌ها، دز حاصل از گاماهای اولیه و دز

ویژگی نوترون‌ها نسبت به گاماها در درمان تومورهای بدخیم حائز اهمیت است اما باید توجه داشت که پرتوهای گامای حاصل می‌توانند انرژی قابل ملاحظه‌ای در فواصل نزدیک به چشم (کمتر از ۲ cm) به جا بگذارند که باید در استفاده از این چشم و یا چشم‌هایی که تنها به عنوان گسیلنده‌ی نوترون شناخته شده‌اند در نظر گرفته شود و میزان دز ناشی از آن را در دز کل سهیم نمود.

انجام شده است. نتایج نشان می‌دهند که، آهنگ‌های دز نوترون و گامای کل با افزایش فاصله از چشم کاهش پیدا کرده و در فواصل نزدیک به چشم بیشترین میزان انرژی را به جا می‌گذارند. محاسبات مربوط به آهنگ دز معادل کل و مقایسه آن با آهنگ دز معادل گاما و نوترون نشان می‌دهند که، در استفاده از این چشم در کاربردهای کلینیکی به دلیل اثر زیست شناختی متوسط ۶ برابر نوترون نسبت به پرتوهای گاما، نوترون‌ها بیشترین میزان تأثیر در دز کل دارند هر چند این

## ۵. مراجع

- [1] A.K. Yengeni. Californium-252 Neutron Sources. *Appl. Radiat. Isot.* 48(12) (1997) 1563–1566.
- [2] M.J. Rivard, J.G. Wierzbicki, F. Van den Heuvel. Clinical brachytherapy with neutron emitting  $^{252}\text{Cf}$  sources and adherence to AAPM TG-43 dosimetry protocol. *Med. Phys.* 26 (1999) 87–96.
- [3] D. Hei et al. Design of a setup for a  $^{252}\text{Cf}$  neutron source for storage and analysis purpose. *Nuclear Instruments and Methods in Physics Research B*. 386 (2016) 1–3.
- [4] J.W. Poston. Neutron depth dose distribution in heterogeneous phantoms. Georgia Institute of Technology (1971).
- [5] A. Yadollahpour, M. Zahihzadeh and A. Ahmadabad. Calculation of Dose Distribution Around a Clinical  $^{252}\text{Cf}$  Source for Neutron Therapy Based on AAPM, TG-43 Protocol. *Biomedical & Pharmacology Journal*. 6(2) (2013) 137–143.
- [6] J. Ghassoun, D. Mostacci and V. Molinari. Detailed dose distribution prediction of  $^{252}\text{Cf}$  brachytherapy source with boron loading dose enhancement. *Applied Radiation and Isotopes*. 68 (2010) 265–270.
- [7] J.l.m. Venselaar, D. Baltas, A.S. meigooni and P.J. Hoskin. A Comprehensive Brachytherapy Physical and Clinical Aspects. CRC Press.ck. (2012).
- [8] V. Samerdokiene, K.P. Valuckas, E. Janulionis, V. Atkocius and M.J. Rivard. Second primary malignancies after radiotherapy including HDR  $^{252}\text{Cf}$  brachytherapy for cervical cancer. *Brachytherapy*. 14 (2015) 898–904.
- [9] S.F. Brandao and T.P.R. Campos. Intracavitary moderator balloon combined with  $^{252}\text{Cf}$  brachytherapy and boron neutron capture therapy, improving dosimetry in a brain tumor and infiltrations. Published by the British Institute of Radiology. (2015).
- [۱۰] احمدی، ام‌لیلا. توکلی عنبران، حسین. محاسبه درصد خطای به وجود آمده در استفاده از فانтом آب به جای بافت نرم برای توزیع چشمی برآکی تراپی  $^{103}\text{Pd}$  به روش مونت کارلو. مجله‌ی علمی پژوهشی دانشگاه علوم پزشکی شهید صدوقی یزد، ۲۳(۹)، ۸۱۸-۸۰۶ (۱۳۹۴)
- [11] I. Al-Saihati and A.A. Naqvi. Neutron and gamma-ray doses from a  $^{252}\text{Cf}$  brachytherapy source in a water phantom. *J Radioanal Nucl Chem.* 296 (2013) 963–966.
- [12] D. Pelowitz. MCNPX user's manual, LA-CP-07-1473 Version 2.6.0.Los Alamos National Laboratory. 13 (2008).
- [13] C. Wang and R. Kelm. Determination of Neutron and Gamma Dose Rates in Water Surrounding a New Interstitial  $^{252}\text{Cf}$  Brachytherapy Source. *Med. Phys.* 36 (2009).
- [14] C. Wang and R. Kelm. Determination of Neutron and Gamma Dose Rates in Water Surrounding a New Interstitial  $^{252}\text{Cf}$  Brachytherapy Source. *Med. Phys.* 36 (2009).
- [15] L.L Anderson. Status of dosimetry for  $^{252}\text{Cf}$  medical neutron sources. *Phys. Med. Biol.* 18 (1973) 779–799.
- [16] E. Fortune, I. Gauld and C. Wang. Gamma Dose near a New Miniature Cf-252 Brachytherapy Source. *Med. Phys.* 37 (2010).
- [17] R.D. Colvett, H.H. Rossi1 and V. Krishnaswamy. Dose distributions around a californium-252 needle. *Phys. Med. Biol.* 17(3) (1972) 356.